

ルースの方法とサンセルナの方法はシンプレクティック・オイラー法やシュテルマー・ベルレの方法のより高次の公式である。ルースの方法は3次，サンセルナの方法は4次の式である。その式は、

ルースの方法

$$(2.3) \quad \left\{ \begin{array}{l} u = q_n + \frac{7}{24}hp_n \\ v = p_n - \frac{2}{3}h\pi^2u \\ u = u + \frac{3}{4}hv \\ v = v + \frac{2}{3}h\pi^2u \\ q_{n+1} = u - \frac{1}{24}hv \\ p_{n+1} = v - h\pi^2q_{n+1} \end{array} \right.$$

サンセルナの方法

(2.4)

$$\left\{ \begin{array}{l} u = q_n + \frac{7}{48}hp_n \\ v = p_n - \frac{1}{3}h\pi^2u \\ u = u + \frac{3}{8}hv \\ v = v + \frac{1}{3}h\pi^2u \\ u = u - \frac{1}{48}hv \\ v = v - h\pi^2u \\ u = u - \frac{1}{48}hv \\ v = v + \frac{1}{3}h\pi^2u \\ u = u + \frac{3}{8}hv \\ v = v - \frac{1}{3}h\pi^2u \\ q_{n+1} = u + \frac{7}{48}hv \\ p_{n+1} = v \end{array} \right.$$

となる.

## 2-3 NyströmとCollatzのルンゲ・クッタ法

NyströmとCollatzのルンゲ・クッタ法は2階微分方程式の初期値問題:

$$(2.5) \quad \frac{d^2y}{dt^2} = f(y), \quad y(0) = \alpha, y'(0) = \beta$$

に対するルンゲ・クッタ法として用いられる. NyströmとCollatzのルンゲ・クッタ法の一般式は,

Nyström

Collatz

$$(2.6) \quad \begin{aligned} k_i &= f(x_n + c_i h, y_n + c_i h y'_n + h^2 \sum_j \bar{a}_{ij} k_j) \\ y_{n+1} &= y_n + h y'_n + h^2 \sum_i \bar{b}_i k_i \\ y'_{n+1} &= y'_n + h \sum_i b_i k_i \end{aligned}$$

(2.7)

$$\begin{aligned} k_i &= h^2 f \left( x_n + c_i h, y_n + c_i h y'_n + \sum_j a_{ij} k_j \right) \\ y_{n+1} &= y_n + h y'_n + \sum_i b_i k_i \\ h y'_{n+1} &= h y'_n + \sum_i b'_i k_i \end{aligned}$$

となる. また, 4次と5次のNyströmとCollatzのルンゲ・クッタ法をテーブル表記すると表1, 表2, 表3, 表4のようになる<sup>1)2)3)</sup>.

表 1. Nyström, order 4

	0			
$c_i$	$\frac{1}{2}$	$\frac{1}{8}$		$\bar{a}_{ij}$
	1	0	$\frac{1}{2}$	
	$\bar{b}_i$	$\frac{1}{6}$	$\frac{1}{3}$	0
	$b_i$	$\frac{1}{6}$	$\frac{4}{6}$	$\frac{1}{6}$

表 2. Collatz, order 4

	0			
$c_i$	$\frac{1}{2}$	$\frac{1}{8}$		$a_{ij}$
	1	0	$\frac{1}{2}$	
	$b'_i$	$\frac{1}{6}$	$\frac{2}{6}$	
	$b_i$	$\frac{1}{6}$	$\frac{4}{6}$	$\frac{1}{6}$

表 3. Nyström, order 5

	0				
$c_i$	$\frac{1}{5}$	$\frac{1}{50}$			$\bar{a}_{ij}$
	$\frac{2}{3}$	$-\frac{1}{27}$	$\frac{7}{27}$		
	1	$\frac{3}{10}$	$-\frac{2}{35}$	$\frac{9}{35}$	
	$\bar{b}_i$	$\frac{14}{336}$	$\frac{100}{336}$	$\frac{54}{336}$	0
	$b_i$	$\frac{14}{336}$	$\frac{125}{336}$	$\frac{162}{336}$	$\frac{35}{336}$

表 4. Collatz, order 5

	0	0			
$c_i$	$\frac{1}{4}$	$\frac{1}{32}$			$a_{ij}$
	$\frac{7}{10}$	$-\frac{7}{1000}$	$\frac{63}{250}$		
	1	$\frac{2}{7}$	0	$\frac{3}{14}$	
	$b'_i$	$\frac{1}{14}$	$\frac{8}{27}$	$\frac{25}{189}$	
	$b_i$	$\frac{1}{14}$	$\frac{32}{81}$	$\frac{250}{567}$	$\frac{5}{54}$

### 3. 数値解

初期値を  $q_0 = 0$ ,  $p_0 = \pi$ , ステップ幅は  $h = 0.05$  とし, 各数値解法に適用し数値解を比較する. また, 数値実験は数式処理ソフトウェアである Maple を用い, 精度は 12 桁で行う.

#### 3-1 シンプレクティック・オイラー法とシュテルマー・ベルレの方法

双方のある地点での数値解を表 5 に示した. また  $t = 970$  付近のグラフを図 1, 図 2 に示した.  $t = 485$  のときにフェーズが 4 分の 1 ずれ,  $t = 970$  のときに完全に反転していることが表 5 とグラフからわかる.

表 5. シンプレクティック・オイラー法とシュテルマー・ベルレの方法の  
 $t = 0, 485, 970$  での数値解と解析解との比較

t	解析解	シンプレクティック・オイラー法	シュテルマー・ベルレの方法
0	0	0	0
485	0	1.003098593540	1.003098593510
970	0	0.000061932703	0.000061932786

$t = n * h$

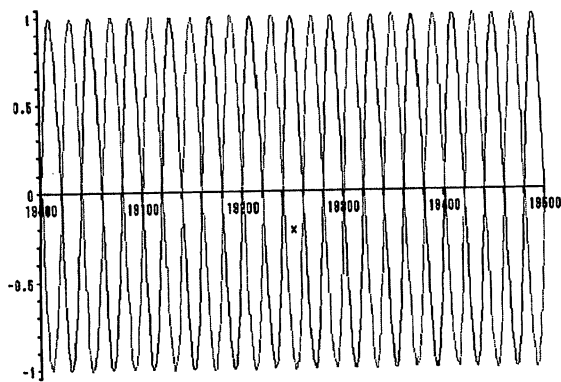


図 1. シンプレクティック・オイラー法  
( $t = 950 \sim 975$ )

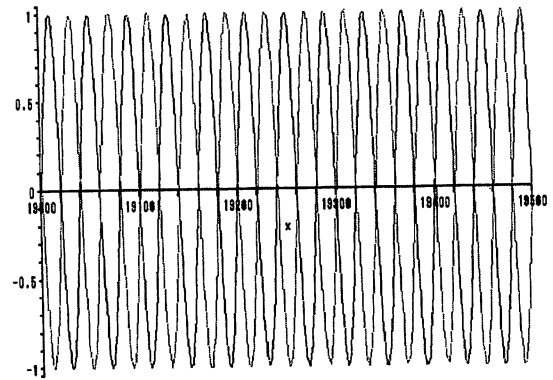


図 2. シュテルマー・ベルレの方法  
( $t = 950 \sim 975$ )

### 3-2 ルースの方法とサンセルナの方法

双方の数値解を  $t = 10000$  まで計算した。その数値解を表 6 に示す。どちらもシンプレクティック・オイラー法などのような大きなフェーズのずれは  $t = 10000$  まででは見られなかった。

表 6. ルースの方法とサンセルナの方法の数値解

t	ルースの方法	サンセルナの方法
0	0	0
1000	0.00122371662337	0.00007647569480
9000	0.01101323109080	0.00068828343260
10000	0.01223686561660	0.00076475951310

$t = n * h$

### 3-3 NyströmとCollatzのルンゲ・クッタ法

NyströmとCollatzの4次と5次のルンゲ・クッタ法を例題に適用し、それぞれ数値解を比較した。その数値解をそれぞれ表 7、表 8 に示した。NyströmとCollatz 4次のルンゲ・クッタ法は式には違いがあるがかかる重みは変わらず、それぞれの数値解は小数点以下 8 桁まで同じ値を示した。NyströmとCollatzの5次のルンゲ・クッタ法は、4次の式とは違いそれぞれにかかる重みに違いがある。 $t = 10000$  の時、どちらも4次の誤差は約  $5.92 \times 10^{-2}$  であるのに対し、5次の誤差はそれぞれ約  $7.02 \times 10^{-5}$ 、 $5.79 \times 10^{-5}$  となり、より精度の高い値を得ることができた。また、この問題ではCollatzの5次の方が精度はよい。

表 7. Nyström, order 4 & Collatz, order 4 の数値解

t	Nyström-4	Collatz-4
0	0	0
1000	0.00595621610813	0.00595621638473
9000	0.05335745749010	0.05335745690690
10000	0.05924848414760	0.05924848366730

$t = n * h$

表 8. Nyström, order 5 & Collatz, order 5 の数値解

t	Nyström-5	Collatz-5
0	0	0
1000	0.00000701877693	0.000005791121751
9000	0.00006321254689	0.000052150649420
10000	0.00007024196392	0.000057949040370

$t = n * h$

#### 4. ハミルトニアンと比較

##### 4-1 シンプレクティック・オイラー法とシュテルマー・ベルレの方法のハミルトニアンと比較

シンプレクティック・オイラー法とシュテルマー・ベルレの方法のハミルトニアンについて調べ、 $t=1000$ までの値を表9に示した。また、そのグラフを図3、図4に示した。シンプレクティック・オイラー法とシュテルマー・ベルレの方法のどちらもハミルトニアンは振動しており、ハミルトニアンの振動はシュテルマー・ベルレの方法の方が緩やかであった。

表9. シンプレクティック・オイラー法とシュテルマー・ベルレの方法のハミルトニアン

t	シンプレクティック・オイラー法	シュテルマー・ベルレの方法
0	4.93480220054	4.93480220054
500	5.03365616377	4.96535915062
1000	4.86025580064	4.93509082588

$t = n * h$

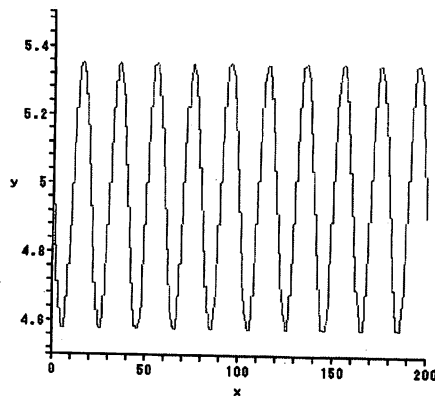


図3. シンプレクティック・オイラー法

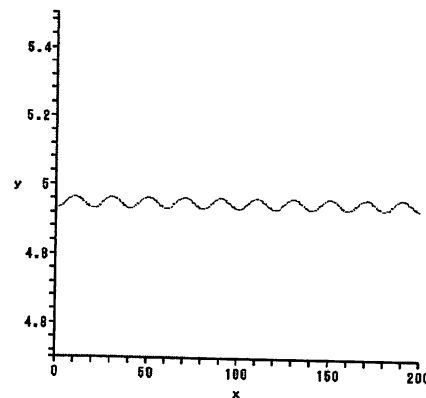


図4. シュテルマー・ベルレの方法

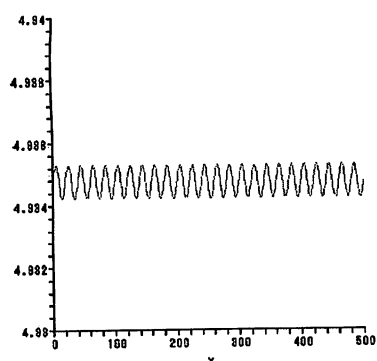
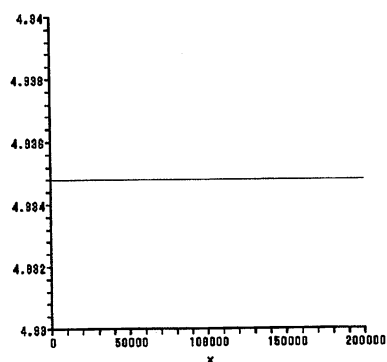
##### 4-2 ルースの方法とサンセルナの方法のハミルトニアンと比較

ルースの方法とサンセルナの方法のハミルトニアンについて調べ、 $t=10000$ までの値を表10に示した。また、ルースの方法とサンセルナの方法のグラフをそれぞれ図5、図6に示した。どちらもシンプレクティック・オイラー法やシュテルマー・ベルレの方法のようにハミルトニアンは大きな振動をしていないが、ルースの方法はハミルトニアンが4.935の付近を小さな幅で振動している。サンセルナの方法はほぼ一定の値を示した。

表10. ルースの方法とサンセルナの方法のハミルトニアン

t	ルースの方法	サンセルナの方法
0	4.93480220054	4.93480220054
1000	4.93480350028	4.93480219500
9000	4.93481392069	4.93480220192
10000	4.93481522348	4.93480220504

$t = n * h$

図 5. ルースの方法 ( $t=0\sim 25$ )図 6. サンセルナの方法 ( $t=0\sim 25$ )

4-3 NyströmとCollatzの4次のルンゲ・クッタ法のハミルトニアンと比較  
NyströmとCollatzの4次のルンゲ・クッタ法のハミルトニアンについて比較した。

表 1 1. Nyström, order 4のハミルトニアン

t	数値解
0	4.93480220054
1000	4.92965702136
9000	4.88868820312
10000	4.88359108937

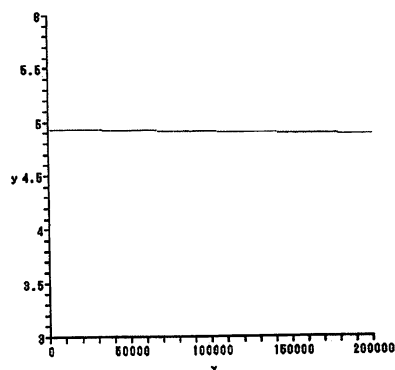


図 7. Nyström, order 4のハミルトニアンのグラフ

表 1 2. Collatz, order 4のハミルトニアン

t	数値解
0	4.93480220054
1000	4.92965702141
9000	4.88868821309
10000	4.88359109761

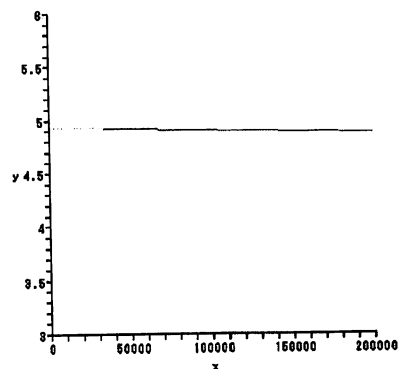


図 8. Collatz, order 4のハミルトニアンのグラフ

ハミルトニアンも数値解のときと同様にほとんど差のない値が得られた。厳密解では一定であるハミルトニアンだが、Nyströmの4次とCollatzの4次の両方とも $t=10000$ まで計算すると、図7、図8のようにグラフで少々傾きが目に見えた。

## 4-4 NyströmとCollatzの5次のルンゲ・クッタ法のハミルトニアンと比較

NyströmとCollatzの5次の時のハミルトニアンについて比較した。

表 1 3. Nyström, order 5のハミルトニアン

t	数値解
0	4.93480220054
1000	4.93562338525
9000	4.94219777746
10000	4.94302019491

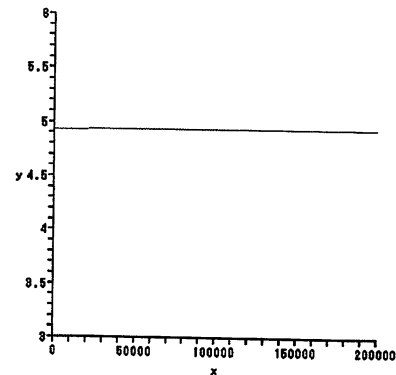


図 9. Nyström, order 5のハミルトニアングラフ

表 1 4. Collatz, order 5のハミルトニアン

t	数値解
0	4.93480220054
1000	4.93552105801
9000	4.94127559026
10000	4.94199537559

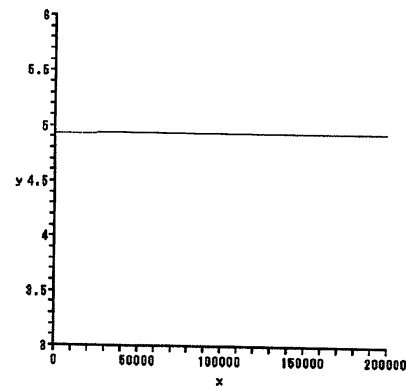


図 1 0. Collatz, order 5のハミルトニアングラフ

NyströmとCollatzの5次のときのハミルトニアンは、一定である厳密解のハミルトニアンに対し、増加していることがわかった。しかし5次の場合、その誤差も僅かであり双方とも精度のよい値を得ることができた。

## 5. 考察

単振動問題に対して各種の方法で計算を行い、その振る舞いについて比較検討した。シンプレクティック法は、ハミルトニアン値は有界な振動で変動し、誤差の振幅は時間ステップを小さくするほど小さくなる。しかし、時間が進むにつれ、位相のずれが大きくなる。シンプレクティック・オイラー法とシュテルマー・ベルレの方法はそれぞれ1次および2次精度であるため、ハミルトニアン誤差の増大の代わりに誤差の蓄積が位相のズレに出ていると考えられる。比較的長い時間の計算においてもそれらの数値解は厳密解とそれほど変わらず、ハミルトニアンおよび位相ともに誤差の成長が緩慢である。ルースの方法とサンセルナの方法はそれぞれ3次および4次精度のため誤差は小さくなる。特にサンセルナの方法はハミルトニアンに含まれる誤差が非常に小さいことがわかった。ハミルトン系は物理的な背景より導出されているため、位相のズレはシミュレーションの結果に深刻な誤解を生む場合が考えられる。一方、ここで取り上げたNyströmとCollatzの方法は2階の微分方程式に対するものである。位相のずれに対してはNyströmとCollatzの方法の方が精度がよい。また、NyströmとCollatzの方法は位相についてはよい精度を示すが、シンプレクティックではないために、ハミルトニアンは時間の経過とともに増加の傾向にある。これらのことから、サンセルナの方法に改良の余地があることがわかる。

## 参考文献

- 1) John R. Dormand, Numerical Methods for Differential Equations A Computational Approach, 1996.
- 2) R. E. Scraton, The numerical solution of second-order differential equations not containing the first derivative explicitly, The Computer J. , vol. 6, pp. 368-370, 1963-1964.
- 3) 三井 斌友, 小藤 俊幸, 齊藤 善弘, 微分方程式による計算科学入門, 共立出版株式会社, (2004) .



# Error propagation of some numerical methods for a Hamiltonian system

Furumatu, Kazuharu and Sakakihara, Michio\*

*Department of Information Science, Graduate School of Informatics,*

*\*Department of Information Science, Faculty of Informatics,*

*Okayama University of Science,*

*1-1 Ridai-cho, Okayama 700-0005, Japan*

(Received September 30, 2008; accepted November 7, 2008)

We study some numerical integrations for the Hamiltonian system

$$\frac{dq}{dt} = p \quad \frac{dp}{dt} = -\pi^2 q \quad H(q, p) = \frac{1}{2}(p^2 + \pi^2 q^2).$$

The Numerical solutions are computed by the Runge-Kutta method proposed by Collatz , the Runge-Kutta-Nystom and symplectic methods ( symplectic Euler, Ruth, Sanz-Serna methods). From several numerical experiments ,we investigate some merits and demerits of the symplectic method by comparing with usual Runge-Kutta type methods.

**Keywords:** Hamiltonian system; numerical method; Runge-Kutta; Symplectic method.